

離岸堤先端部における局所洗掘に関する実験的研究(Ⅲ)

大阪府立工業高等専門学校 正員 幸山秀夫
 東洋建設 正員 稲田 满
 岩築建設 橋田龍二

1. はじめに: 近年、河川の改修工事などの結果、土砂の海面への流出が減少し、そのため、海岸線の侵食が激化する傾向にある。その対策として主として堆砂を目的とした離岸堤工法が各地で実施されており、最近、その実施例が急増。一途を辿り、ついでには周知のとおりである。しかしながら、その堆砂機構は多岐に亘り、堤脚部周辺の洗掘実態も堤の沈下率。原因などについてもまだ十分に発明されておらず、さらには検討すべき余地が少くない。著者一人は、この子と親身から、前報¹⁾で、堤先端部形状が洗掘に及ぼす、いわゆる形状効果を調べるために、種々の先端部形状のモデル堤を用いて実験的に検討し、その洗掘特性について若干の知見を得ることを試みた。

本研究では、これに引き続いて、堤の設置に対する海浜変形の実態を実験的に調べ、堤の維持と堆砂の促進を最も有効にする堤構造様式などを最適条件を系統的に明らかにしておきたいとするもので、(1)では特に、堤の構造様式の適適性。場合によって、堤幅、通過率およびアロットの積み方(整積・乱積)などに相違によじて、堤周辺、局所洗掘・堆積効果および堤の沈下量などを実験的に詳細に調べることとするものである。

2. 実験装置および方法: 実験装置はモデル堤として星形ブロック[ストラットと中空三脚ブロック]と空隙孔を有する平板モデルを用いた: とて降りば、前報¹⁾と全く同様である。実験方法は、水手運動床(底質は $d_0 = 0.20^m$ の標準砂)、中央部に各モデル堤を設置し、経過時間 $t = 1/2, 1, 2, 3$ 時間ごとに、種々の波浪条件下における堤先端部周辺の洗掘・堆積特性や水理特性を3点の測定点(堤の沈下量などを調べた)。各時間ごとの洗掘深と堆積高は、等高線法を表示せざりし、堤先端を原点とし、 $\angle \theta$ 渡り進行方向にX軸、それと直角方向にY軸をとり、 $\angle \theta$ 渡り方向に約 $5\sim 10^{\circ}$ の間隔で砂面測定装置を用いて測定し、同時に抵抗線式波高計で波高分布を調べた。実験条件は、砂面上水深(h_0)を常に一定の 30 cm とし、波浪特性は周期 $T = 1.3, 1.5, 1.7\text{ sec}$ の各場合について、冲波波高 $H_0 = 5.1\sim 11.0\text{ cm}$ の範囲で適宜に変化させた。なお、本文図中の丸印、三角印及び四角印は光電センサ(斜面)、堆積計(可視計)の場合の結果を示す。

3. 解析方法: 解析は、すでに作成された洗掘・堆積状況を示した等高線図から、それらの各領域の諸元や洗掘・堆積量を求め、またそれ最大洗掘深と堆積高を Z_{max}, Z_{min} 、全領域における統計量と総堆積量を Z_{avg}, W_{avg} さらに平均堆積速度を $\Delta Z_{avg}/at$ (at : 洗掘溝の測定時間間隔、 ΔZ_{avg} : at 時間にあたり最大堆積高、変化量) を表わした。

4. 実験結果: (1) モデル堤周辺の波高分布: 図-1 は堤の通過率 K と波形勾配(H/L)の関係を示したもので、図中に示す浴因²⁾の実験公式 $[K_f = 1/(1 + (B/L)^{0.05}(H/L)^{0.5})^{2.5}]$ 、 B : 堤体幅、 L : 1個のブロックの高さ)を参考のために併示した。図-2 はX軸に沿う堤の岸・沖側における波高分布。1個を示したものである。2) 洗掘・堆積過程: (a) 星形ブロック堤の場合: この場合以上、本実験結果によれば、堤周辺の局所洗掘・堆積状況は次の5種類に分類できる上である。I) 堤先端部隅角部: 砂連呼吸が発生する場合、II) 最初堤背後の岸側の方で発生した堆積領域が徐々に堤先端部に近づく。

Hideo-Hirayama, Mituru-Inada, Ryugi-Hashida.

も広がる場合(侵食領域なし), II) 堤先端部が洗掘され, 水が堤の岸・沖側に堆積する場合, IV) III型の特殊型で岸側の方に堆積領域が発生する場合, V) III型・特殊型で堆積領域が堤の岸・沖側に発生する場合, である。一般に I)型は波高が小さい場合に、II)型は短周期波の場合に発生する。III)型は周期・波高とも大きく、堤先端部に発生する渦が洗掘、至因を成す場合、IV)型はテラボア堤で $T=1.5, 1.7 \text{ sec}$, $H=7.0 \text{ cm}$ の場合, V)型は中空三層テラボア堤で $T=1.5 \text{ sec}$, $H=9.0 \text{ cm}$ の場合のみに見られた。
2) 手放モルタル堤の場合: ① 湧合は、前報の不通過波の場合と同様に、一般に堤先端部付近が渦によって円形状に洗掘され、それが堤の兩側に堆積するが、その程度は空隙率によって若干変化する(図4参照)。

3) 洗掘特性: 図3は洗掘量に及ぼす周期、影響を示したもので、図4は手放モルタル堤の場合で、洗掘量は空隙率が大きいほど逆水小さくなることがある。
4) 堆積特性: 図5は堆積量に及ぼす洗掘の影響を、また図6は、手放モルタル堤による空隙率の影響を示したものである。一方、図7は手放堆積速度 $\Delta Z_{max}/\Delta t$ と経過時間 t との関係を示したものである。

5) 堤の沈下量: 図8は堤の沈下量(h_d)を周期別に比較したもので、一般に1部の場合は除いて、周期が長いほど、またここでは手放していないが、波形勾配が大きいほど沈下量は大きいようである。図9は堆積量と沈下量の関係を示したものである。この個から堤の沈下に伴って排出された砂量と堆積量とは大いに関係があるようである。

最後に、いつか暖かい所指導を貰つて、古若垣雄一郎大教授、心から謝意を表す。
参考文献 1) 井山・志賀・中村: 昭和56年度開拓部年譜, 1978. 2) 沢田: 第2回海講論集, pp.501~505, 1975.

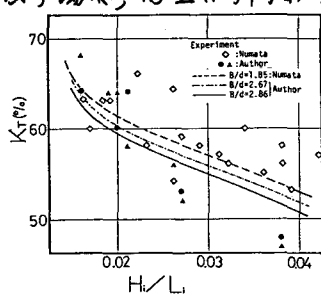


図1 波の高さと周期との関係

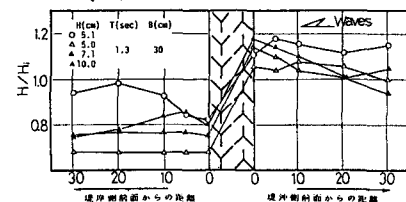


図2 堤周辺の波高分布

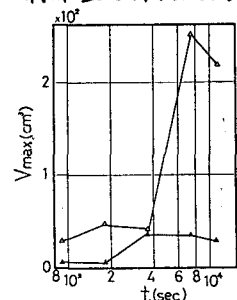


図3 総洗掘量の時間に対する変化

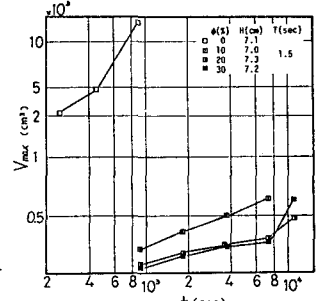


図4 総洗掘量の空隙率に対する変化

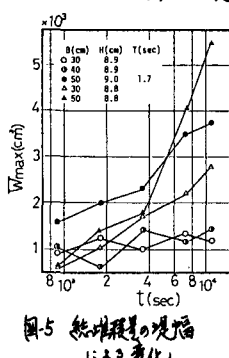


図5 総洗掘量の時間に対する変化

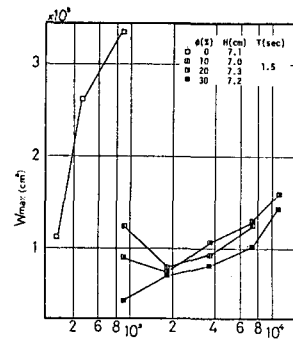


図6 総洗掘量の空隙率に対する変化

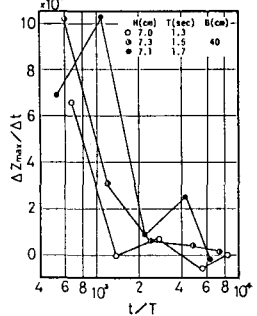


図7 純堆積速度の経過変化

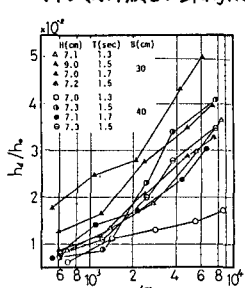


図8 総洗掘量の周期に対する変化

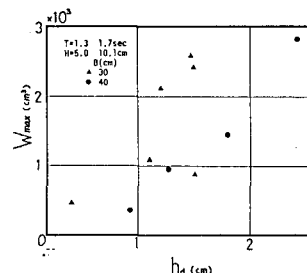


図9 総堆積量と沈下量との関係